

К 70-ЛЕТИЮ ИРЭ  
ИМ. В.А. КОТЕЛЬНИКОВА РАН

УДК 621.372.542.2

ПАРАМЕТРИЧЕСКОЕ СЕМЕЙСТВО ФИЛЬТРОВ  
С КОНЕЧНОЙ ИМПУЛЬСНОЙ ХАРАКТЕРИСТИКОЙ  
НА ОСНОВЕ СПЛАЙНОВ И МЕТОД ПОИСКА  
ОПТИМАЛЬНОГО ПАРАМЕТРА

© 2023 г. К. А. Будунова<sup>a</sup>, \*, В. Ф. Кравченко<sup>a, b</sup>

<sup>a</sup> Институт радиотехники и электроники им. В.А. Котельникова РАН,  
ул. Моховая, 11, корп. 7, Москва, 125009 Российская Федерация

<sup>b</sup> Научно-технологический центр уникального приборостроения РАН,  
ул. Бутлерова, 15, Москва, 117342 Российская Федерация

\*E-mail: 1917schw@mail.ru

Поступила в редакцию 28.04.2023 г.

После доработки 28.04.2023 г.

Принята к публикации 25.05.2023 г.

Предложено новое параметрическое семейство фильтров с конечной импульсной характеристикой на основе сверток сплайнов с прямоугольным импульсом. Разработан и теоретически обоснован алгоритм поиска параметра, оптимизирующего отклонение амплитудно-частотной характеристики в полосах пропускания и подавления. Проведен численный эксперимент, заключающийся в сравнении новых фильтров с оконными фильтрами и оптимальными фильтрами Чебышева.

DOI: 10.31857/S003384942309005X, EDN: RLGIPL

## ВВЕДЕНИЕ

В работе описывается семейство фильтров с конечной импульсной характеристикой (КИХ), амплитудно-частотная характеристика (АЧХ) которых приближается к финитным сплайнам, аппроксимирующими свертку прямоугольного импульса с атомарной функцией  $h_a(x)$  [1, 2]. Отклонение фильтров в полосах пропускания и подавления меняется вместе с изменением параметра, в связи с чем возникает задача разработки метода поиска параметра, оптимизирующего отклонение.

### 1. ПАРАМЕТРИЧЕСКОЕ СЕМЕЙСТВО КИХ-ФИЛЬТРОВ НА ОСНОВЕ СПЛАЙНОВ

Пусть  $f(\omega)$  – четная неотрицательная финитная интегрируемая функция с носителем  $\text{supp}f(\omega) = [-\gamma, \gamma]$  и

$$\int_{-\gamma}^{\gamma} f(\omega)d\omega = 1,$$

а  $B_0(\omega)$  – прямоугольный импульс:

$$B_0(\omega) = \begin{cases} 1, & |\omega| < 1/2, \\ 1/2, & |\omega| = 1/2, \\ 0, & |\omega| > 1/2. \end{cases}$$

Тогда при  $\gamma_0 > \gamma$  свертка

$$H(\omega) = \int_{\mathbb{R}} B_0(\omega/(2\gamma_0))f(\omega - u)du \quad (1)$$

является четной финитной неотрицательной функцией, удовлетворяющей условиям

$$\begin{aligned} H(\omega) &= 0, & |\omega| > \gamma_0 + \gamma, \\ H(\omega) &= 1, & |\omega| < \gamma_0 - \gamma. \end{aligned}$$

Перечисленные свойства позволяют рассматривать  $H(\omega)$  в качестве идеальной АЧХ некоторого фильтра низких частот.

Рассмотрим для фиксированных частот  $\omega_0$  и  $\omega_l$ ,  $0 < \omega_0 < \omega_l < \pi$ , семейство фильтров  $H_{a,L}(\omega)$ , образуемое правой частью (1) в случае, когда  $\gamma_0 = (\omega_l + \omega_0)/2$  и

$$f(\omega) = \frac{2\Omega_L}{\omega_l - \omega_0} f_{a,L}\left(\frac{2\Omega_L \omega}{\omega_l - \omega_0}\right),$$

где  $a \geq 1$  – параметр,  $f_{a,L}(\omega)$  – финитный сплайн с носителем  $[-\Omega_L, \Omega_L]$ , полученный в результате

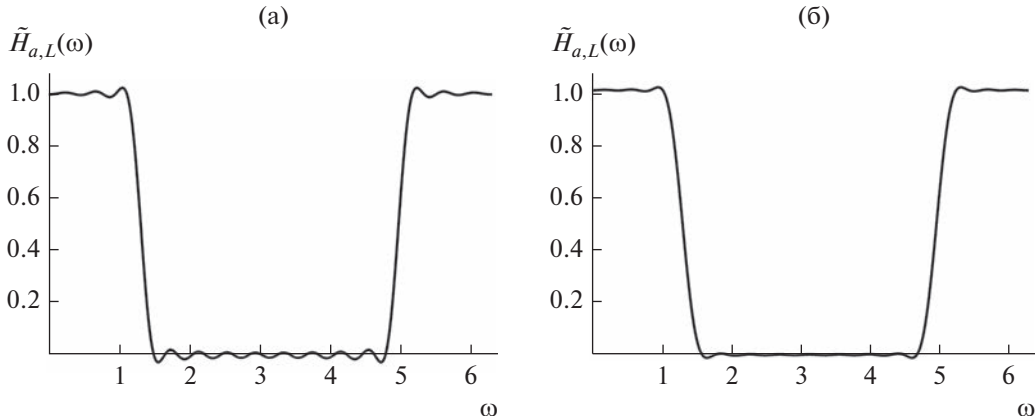


Рис. 1. Амплитудно-частотные характеристики (3) при  $\omega_0 = \pi/3$ ,  $\omega_l = \pi/2$ ,  $L = 3$ ,  $N = 15$  для  $a = 1.2$  (а) и  $5$  (б).

свертки  $L$  прямоугольных импульсов разной длины

$$f_{a,L}(\omega) = \left( \frac{a}{2} B_0(a\omega/2) \right) * \dots * \left( \frac{a^L}{2} B_0(a^L\omega/2) \right),$$

$$\Omega_L = \sum_{l=1}^L a^{-l}.$$

Сплайны  $f_{a,L}(\omega)$  представляют собой аппроксимации известной атомарной функции  $h_a(\omega)$ , которая применяется при синтезе дискретных и непрерывных фильтров низких частот с быстро затухающей импульсной характеристикой [3–5].

Функция  $H_{a,L}(\omega)$  при  $\omega \in [-\pi, \pi]$  представляет рядом Фурье

$$H_{a,L}(\omega) = \frac{\omega_l + \omega_0}{\pi} \times$$

$$\times \left( \frac{1}{2} + \sum_{k=1}^{\infty} \text{sinc}\left(\frac{\omega_l + \omega_0}{2} k\right) Y_{a,L}(k) \cos(k\omega) \right), \quad (2)$$

где

$$Y_{a,L}(x) = \prod_{l=1}^L \text{sinc}\left(\frac{(\omega_l - \omega_0)a^{l-1}x}{2(1+a+\dots+a^{L-1})}\right).$$

Коэффициенты

$$h(k) = \frac{\omega_l + \omega_0}{2\pi} \text{sinc}\left(\frac{\omega_l + \omega_0}{2} k\right) Y_{a,L}(k),$$

$$k = -N, \dots, N,$$

определяют КИХ-фильтр с АЧХ  $\tilde{H}_{a,L}(\omega)$

$$\tilde{H}_{a,L}(\omega) = \frac{\omega_l + \omega_0}{\pi} \times$$

$$\times \left| \frac{1}{2} + \sum_{k=1}^N \text{sinc}\left(\frac{\omega_l + \omega_0}{2} k\right) Y_{a,L}(k) \cos(k\omega) \right|. \quad (3)$$

Графики АЧХ (3) для некоторых фильтров приведены на рис. 1.

Рассмотрим остаток ряда Фурье (2)

$$\varepsilon(a, \omega) = \frac{\omega_l + \omega_0}{\pi} \times$$

$$\times \sum_{k=N+1}^{\infty} \text{sinc}\left(\frac{\omega_l + \omega_0}{2} k\right) Y_{a,L}(k) \cos(k\omega). \quad (4)$$

Для каждого фиксированного параметра  $a$  и заданного набора чисел  $\omega_0$ ,  $\omega_l$ ,  $L$ ,  $N$  наибольшее отклонение характеристики (3) в полосах пропускания  $0 \leq \omega \leq \omega_0$  и подавления  $\omega_l \leq \omega \leq \pi$  (при условии, что  $\tilde{H}_{a,L}(\omega) \neq 0$  на  $\omega \in (0, \omega_0)$ ) задается величиной

$$M(a) = \max_{\omega \in \Omega} |\varepsilon(a, \omega)|, \quad (5)$$

где  $\Omega = \{\omega : 0 \leq \omega \leq \omega_0, \omega_l \leq \omega \leq \pi\}$ . Отклонение (5) меняется в зависимости от параметра  $a$  и имеет на интервале  $a \in [1, +\infty)$  точную нижнюю грань

$$\inf_{a \in [1, +\infty)} M(a). \quad (6)$$

## 2. ЗАМЕНА НЕПРЕРЫВНОЙ ЗАДАЧИ ОПТИМИЗАЦИИ ОТКЛОНЕНИЯ ДИСКРЕТНОЙ ЗАДАЧЕЙ

Функция (5) в общем случае не является вогнутой, кроме того, точная нижняя грань (6) ищется на неограниченном множестве  $a \in [1, +\infty)$ , поэтому решение задачи (6) не может быть найдено при помощи стандартных численных методов минимизации.

Для отыскания приближенного решения здесь предлагается ограничить область изменения параметра  $a$  и заменить (6) дискретной задачей таким образом, чтобы найденное на сетке решение мало отличалось от (6).

Пусть  $\varepsilon_0 = \inf_{a \geq 1} M(a)$  – решение непрерывной задачи (6). Задавая конечный отрезок  $[1, A]$  и сетку  $A_S = \{a_s\}_{s=1}^S$  на этом отрезке,  $1 = a_1 < a_2 < \dots <$

$\epsilon_{S-1} < \epsilon_S = A$ , рассмотрим также задачу поиска числа  $\epsilon_1$

$$\epsilon_1 = \min_{1 \leq s \leq S} M(a_s). \quad (7)$$

Определим условия, налагаемые на сетку  $A_S$  и число  $A$ , достаточные для выполнения неравенства

$$|\epsilon_1 - \epsilon_0| \leq \frac{\epsilon_0}{10}, \quad (8)$$

задающего требование малого различия решений дискретной и непрерывной задач.

Отметим, что для функции  $\epsilon(a, \omega)$  имеет место равномерная на  $\Omega$  сходимость  $\lim_{a \rightarrow +\infty} \epsilon(a, \omega) = \tilde{\epsilon}(\omega)$ , где

$$\begin{aligned} \tilde{\epsilon}(\omega) &= \frac{\omega_l + \omega_0}{\pi} \times \\ &\times \sum_{k=N+1}^{\infty} \operatorname{sinc}\left(\frac{\omega_l + \omega_0}{2} k\right) \operatorname{sinc}\left(\frac{\omega_l - \omega_0}{2} k\right) \cos(k\omega), \end{aligned}$$

поэтому при достаточно больших  $A$  для всех  $a > A$

$$|M(a) - \max_{\omega} |\tilde{\epsilon}(\omega)|| < \lambda,$$

где  $\lambda$  – сколь угодно малое число.

Обозначим  $\tilde{\epsilon} = \max_{\omega \in \Omega} |\tilde{\epsilon}(\omega)|$ . Предположим, что задано некоторое число  $A$ , для которого выполняется соотношение

$$|\epsilon(a, \omega) - \tilde{\epsilon}(\omega)| < \lambda \tilde{\epsilon}$$

при  $a > A$ .

Рассмотрим сначала случай, когда функция  $M(a)$  достигает при  $a \geq 1$  своей нижней грани в точке  $a_0 \geq A$ . Тогда для  $\epsilon_0$  справедливо

$$(1 - \lambda) \tilde{\epsilon} \leq \epsilon_0 \leq \tilde{\epsilon}.$$

Полагая  $\epsilon_1 = \tilde{\epsilon}$ , получим

$$|\epsilon_0 - \epsilon_1| \leq \lambda \tilde{\epsilon}.$$

Пусть теперь  $\inf_{a \geq 1} M(a)$  не достигается при конечном  $a$  и  $\epsilon_0 = \tilde{\epsilon}$ . Тогда  $\epsilon_1 > \tilde{\epsilon}$ . В точке  $a = A$

$$\tilde{\epsilon} < \epsilon_1 \leq M(A) \leq (1 + \lambda) \tilde{\epsilon}.$$

Отсюда также следует  $|\epsilon_0 - \epsilon_1| \leq \lambda \tilde{\epsilon}$ . Далее, в обоих случаях

$$|\epsilon_0 - \epsilon_1| \leq \frac{\lambda \epsilon_0}{1 - \lambda} \leq \frac{\epsilon_0}{10}$$

при  $\lambda \leq \frac{1}{11}$ .

Если функция  $M(a)$  достигает при  $a \geq 1$  своей нижней грани в точке  $a_0 \in [1, A]$ , то условие (8) выполняется при правильном выборе сетки на  $[1, A]$ . Пусть точка  $a_0$  принадлежит некоторому отрезку

$[\alpha, \beta] \subset [1, A]$ , на котором задано равномерное разбиение с шагом  $\Delta a$ , причем

$$M(a) \geq \mu, \quad \alpha \leq a \leq \beta,$$

где  $\mu$  – некоторое число. Введем функции

$$M_1(a) = \max_{\omega \in \Omega} \epsilon(a, \omega), \quad M_2(a) = -\min_{\omega \in \Omega} \epsilon(a, \omega). \quad (9)$$

Можно показать, что при

$$|M_1(a + \Delta a) - M_1(a)| \leq \frac{\mu}{10}, \quad (10)$$

$$|M_2(a + \Delta a) - M_2(a)| \leq \frac{\mu}{10} \quad (11)$$

справедливо

$$|M(a + \Delta a) - M(a)| \leq \frac{\mu}{10}.$$

Достаточным условием для выполнения (10), (11) является

$$\Delta a \leq \frac{\mu}{10 \tilde{M}}, \quad (12)$$

где  $\tilde{M}$  – оценка сверху модулей производных  $M'_1(a)$ ,  $M'_2(a)$  на отрезке  $[\alpha, \beta]$ :

$$|M'_1(a)| \leq \tilde{M}, \quad |M'_2(a)| \leq \tilde{M}. \quad (13)$$

Из определения производных функций вида (9), приведенного в [6], следует, что неравенства (13) справедливы для

$$\tilde{M} \geq \max_{\substack{\alpha \leq a \leq \beta, \\ \omega \in \Omega}} \left| \frac{\partial \epsilon(a, \omega)}{\partial a} \right|.$$

Таким образом, при шаге  $\Delta a$ , удовлетворяющем (12), имеем

$$|M(a + \Delta a) - M(a)| \leq \frac{1}{10} \min_{\alpha \leq a \leq \beta} M(a) = \frac{\epsilon_0}{10}.$$

### 3. ФОРМУЛЫ ПРЕДСТАВЛЕНИЯ ПОГРЕШНОСТИ $\epsilon(a, \omega)$

Далее будем использовать другие представления функции  $\epsilon(a, \omega)$ . Обозначим

$$\phi_l(a) = \frac{(\omega_l - \omega_0)a^{l-1}}{2(1 + a + \dots + a^{L-1})}, \quad 1 \leq l \leq L,$$

$$\phi_{L+1}(a) = \frac{\omega_l + \omega_0}{2}.$$

Справедлива формула

$$\begin{aligned} &\sin\left(n\varphi + \frac{\pi}{2}\right) \prod_{l=1}^{L+1} \sin(n\phi_l) \frac{(-1)^{L+1}}{2^{L+1}} = \\ &= \sum_{k=1}^{2^{L+1}} (-1)^{\sigma_k(L+1)} \cos\left(\frac{\pi(L+1)}{2} + n\varphi + \sum_{m=1}^{L+1} (-1)^{s_k(m)} n\phi_m\right). \end{aligned} \quad (14)$$

где  $L \in \mathbb{N}$ ,  $\sigma_k(P)$  – сумма единиц в двоичном представлении числа  $k - 1$ :

$$k - 1 = s_k(1)s_k(2)\dots s_k(P), \quad (15)$$

$$\sigma_k(P) = \sum_{m=1}^P s_k(m),$$

а  $s_k(m)$  – разряды в представлении (15) слева направо

$$k - 1 = \sum_{r=0}^{P-1} 2^r s_k(P-r). \quad B(18)$$

Используя (14), погрешность  $\varepsilon(a, \omega)$  (4) можно представить в форме выражения, содержащего сумму  $2^{L+1}$  сдвигов функции  $\Psi_L$ :

$$\begin{aligned} \varepsilon(a, \omega) &= \frac{(-1)^L}{\pi} \frac{(1+a+\dots+a^{L-1})^L}{a^{(L-1)L/2} (\omega_1 - \omega_0)^L} \times \\ &\times \sum_{l=1}^{2^{L+1}} (-1)^{\sigma_l(L+1)+1} \Psi_L \left( \omega + \sum_{m=1}^{L+1} (-1)^{s_l(m)} \varphi_m(a) \right), \end{aligned} \quad (16)$$

определенной выражением

$$\Psi_r(x) = \sum_{k=N+1}^{\infty} \frac{\cos \left( kx + \frac{\pi}{2}(r+1) \right)}{k^{r+1}}.$$

Функция  $\Psi_r(x)$ , заданная для  $r \in \{-1, 0\} \cup \mathbb{N}$ , является  $2\pi$ -периодической и при  $x \in [0, 2\pi]$  может быть вычислена по формуле

$$\begin{aligned} \Psi_r(x) &= (-1)^r \frac{(2\pi)^{r+1}}{2(r+1)!} B_{r+1} \left( \frac{x}{2\pi} \right) - \\ &- \sum_{k=1}^N \frac{\cos \left( kx + \frac{\pi}{2}(r+1) \right)}{k^{r+1}}, \end{aligned}$$

где  $B_l(x)$  – многочлен Бернулли порядка  $l$ .

Вводя функцию

$$\Phi_r(x) = \Psi_r \left( x + \frac{\omega_1 + \omega_0}{2} \right) - \Psi_r \left( x - \frac{\omega_1 + \omega_0}{2} \right),$$

можно получить еще одно представление  $\varepsilon(a, \omega)$ :

$$\begin{aligned} \varepsilon(a, \omega) &= \frac{(-1)^L}{\pi} \frac{(1+a+\dots+a^{L-1})^L}{a^{(L-1)L/2} (\omega_1 - \omega_0)^L} \times \\ &\times \sum_{l=1}^{2^L} (-1)^{\sigma_l(L)+1} \Phi_L \left( \omega + \sum_{m=1}^L (-1)^{s_l(m)} \varphi_m(a) \right). \end{aligned} \quad (17)$$

Для фиксированной частоты  $\omega$  будет использоваться формула

$$\begin{aligned} \varepsilon(a, \omega) &= \frac{(-1)^L}{\pi} \frac{(1+a+\dots+a^{L-1})^L}{a^{(L-1)L/2} (\omega_1 - \omega_0)^L} \times \\ &\times \sum_{l=1}^{2^{L-1}} (-1)^{\sigma_l(L)+1} F_L \left( \frac{\sum_{m=1}^L (-1)^{s_l(m)} a^{m-1}}{1+\dots+a^{L-1}} \right). \end{aligned} \quad (18)$$

$$\begin{aligned} F_r(x) &= \Phi_r \left( \omega + \frac{\omega_1 - \omega_0}{2} x \right) + \\ &+ (-1)^r \Phi_r \left( \omega - \frac{\omega_1 - \omega_0}{2} x \right). \end{aligned}$$

#### 4. ОПРЕДЕЛЕНИЕ КОНЕЧНОГО ОТРЕЗКА ПОИСКА РЕШЕНИЯ

Используя результаты, полученные в разд. 2, определим метод поиска конечного отрезка  $[l, A]$ , на котором ищется решение дискретной задачи. На множестве  $\omega \in \Omega$  имеет место равномерная сходимость

$$\lim_{a \rightarrow +\infty} \varepsilon(a, \omega) = \tilde{\varepsilon}(\omega),$$

поэтому можно найти число  $A$ , для которого

$$|\varepsilon(a, \omega) - \tilde{\varepsilon}(\omega)| \leq \frac{1}{11} \tilde{\varepsilon} \quad (19)$$

при любом  $a \geq A$ .

Считая  $\omega$  фиксированной частотой, запишем погрешность  $\varepsilon(a, \omega)$  (18) виде

$$\varepsilon(a, \omega) = f_0(a) \Theta(a),$$

где

$$f_0(a) = \frac{(-1)^L}{\pi} \frac{(1+a+\dots+a^{L-1})^L}{a^{(L-1)L/2} (\omega_1 - \omega_0)^L},$$

$$\Theta(a) = \sum_{l=1}^{2^{L-1}} (-1)^{\sigma_l(L)+1} F_L \left( \frac{\sum_{m=1}^L (-1)^{s_l(m)} a^{m-1}}{1+\dots+a^{L-1}} \right).$$

Используя свойство

$$F_L(x) = (-1)^L F_L(-x),$$

функцию  $\Theta(a)$  можно преобразовать к виду

$$\Theta(a) = \sum_{l=1}^{2^{L-2}} (-1)^{\sigma_l(L-2)+1} F_L \left( \frac{\sum_{m=1}^{L-2} a^m ((-1)^{s_l(m)} - 1)}{1 + \dots + a^{L-1}} + 1 \right) - \\ - \sum_{l=1}^{2^{L-2}} (-1)^{\sigma_l(L-2)+1} \times \\ \times F_L \left( \frac{\sum_{m=1}^{L-2} a^m ((-1)^{s_l(m)} - 1)}{1 + \dots + a^{L-1}} + 1 + \frac{-2}{1 + \dots + a^{L-1}} \right).$$

Введем функцию

$$\lambda_1(a, x) = \\ = \sum_{l=1}^{2^{L-2}} (-1)^{\sigma_l(L-2)+1} F_L \left( \frac{\sum_{m=1}^{L-2} a^m ((-1)^{s_l(m)} - 1)}{1 + \dots + a^{L-1}} + 1 + x \right).$$

Тогда для каждого  $a$  по теореме о среднем получим

$$\Theta(a) = \lambda_1(a, 0) - \lambda_1 \left( a, \frac{-2}{1 + \dots + a^{L-1}} \right) = \\ = \frac{2}{1 + \dots + a^{L-1}} \frac{\partial \lambda_1(a, x)}{\partial x} \Big|_{x=-2\theta_1/(1+\dots+a^{L-1})},$$

где  $\theta_1 \in (0, 1)$ .

Поскольку

$$F'_k(x) = -\frac{\omega_1 - \omega_0}{2} F_{k-1}(x),$$

производная  $\frac{\partial \lambda_1(a, x)}{\partial x}$  равна

$$\frac{\partial \lambda_1(a, x)}{\partial x} = \frac{\omega_1 - \omega_0}{2} \times \\ \times \sum_{l=1}^{2^{L-2}} (-1)^{\sigma_l(L-2)} F_{L-1} \left( \frac{\sum_{m=1}^{L-2} a^m ((-1)^{s_l(m)} - 1)}{1 + \dots + a^{L-1}} + 1 + x \right).$$

Отсюда

$$\Theta(a) = \frac{\omega_1 - \omega_0}{1 + \dots + a^{L-1}} \times \\ \times \sum_{l=1}^{2^{L-2}} (-1)^{\sigma_l(L-2)} F_{L-1} \left( \frac{\sum_{m=1}^{L-2} a^m ((-1)^{s_l(m)} - 1) - 2\theta_1}{1 + \dots + a^{L-1}} + 1 \right).$$

Вводя функцию

$$\lambda_2(a, x) = \frac{\omega_1 - \omega_0}{1 + \dots + a^{L-1}} \sum_{l=1}^{2^{L-3}} (-1)^{\sigma_l(L-3)} \times \\ \times F_{L-1} \left( \frac{\sum_{m=1}^{L-3} a^{m+1} ((-1)^{s_l(m)} - 1) - 2\theta_1}{1 + \dots + a^{L-1}} + 1 + x \right),$$

можно записать  $\Theta(a)$  в виде

$$\Theta(a) = \lambda_2(a, 0) - \lambda_2 \left( a, \frac{-2a}{1 + \dots + a^{L-1}} \right). \quad (20)$$

Из (20) следует

$$\Theta(a) = \frac{(\omega_1 - \omega_0)^2 a}{(1 + \dots + a^{L-1})^2} \sum_{l=1}^{2^{L-3}} (-1)^{\sigma_l(L-3)-1} \times \\ \times F_{L-2} \left( \frac{\sum_{m=1}^{L-3} a^{m+1} ((-1)^{s_l(m)} - 1)}{1 + \dots + a^{L-1}} + 1 + \frac{-2(\theta_1 + \theta_2 a)}{1 + \dots + a^{L-1}} \right),$$

где  $\theta_2 \in (0, 1)$ .

Поступая далее аналогичным образом, можно получить формулу

$$\Theta(a) = (-1)^L \frac{(\omega_1 - \omega_0)^{L-1} a^{1+\dots+(L-2)}}{(1 + \dots + a^{L-1})^{L-1}} \times \\ \times F_1 \left( 1 + \frac{-2(\theta_1 + \dots + \theta_{L-1} a^{L-2})}{1 + \dots + a^{L-1}} \right). \quad (21)$$

В (21)  $\theta_k$ ,  $k = \overline{1, L-1}$ , — числа из интервала  $(0, 1)$ . Выражение для погрешности  $\epsilon(a, \omega)$  примет вид

$$\epsilon(a, \omega) = \frac{1}{\pi(\omega_1 - \omega_0)} \frac{a^L - 1}{a^{L-1}(a-1)} \times \\ \times F_1 \left( 1 + \frac{-2(\theta_1 + \dots + \theta_{L-1} a^{L-2})}{1 + \dots + a^{L-1}} \right).$$

Обозначим

$$\tilde{F}_r = \max_{\omega \in \Omega} \left| \Phi_r \left( \omega + \frac{\omega_1 - \omega_0}{2} \right) + (-1)^r \Phi_r \left( \omega - \frac{\omega_1 - \omega_0}{2} \right) \right|, \quad r = 0, 1.$$

Для модуля разности

$$|\epsilon(a, \omega) - \tilde{\epsilon}(\omega)| = \frac{1}{\pi(\omega_1 - \omega_0)} \times \\ \times \left| \frac{a^L - 1}{a^{L-1}(a-1)} F_1 \left( 1 + \frac{-2(\theta_1 + \dots + \theta_{L-1} a^{L-2})}{1 + \dots + a^{L-1}} \right) - F_1(1) \right|$$

легко вывести оценку

$$|\varepsilon(a, \omega) - \tilde{\varepsilon}(\omega)| \leq d(a),$$

где  $d(a)$  – монотонно убывающая функция параметра  $a$ , равная

$$d(a) = \frac{1}{\pi} \left( \frac{1}{a} + \dots + \frac{1}{a^{L-1}} \right) \times \\ \times \left( \frac{2(\omega_l - \omega_0)(a^{L-1} - 1)}{a^L - 1} \max_x |\Phi_{-1}(x)| + \tilde{F}_0 + \frac{1}{\omega_l - \omega_0} \tilde{F}_1 \right).$$

Число  $A$ , обеспечивающее выполнение условия (19), можно найти, решив уравнение

$$d(A) = \tilde{\varepsilon}/11.$$

## 5. ОЦЕНКИ ДЛЯ ЧАСТНОЙ ПРОИЗВОДНОЙ ПОГРЕШНОСТИ $\varepsilon(a, \omega)$ ПО ПАРАМЕТРУ $a$

В процессе работы алгоритма дискретизации возникают задачи вычисления оценок сверху модуля частной производной

$$\delta(a, \omega) = \frac{\partial \varepsilon(a, \omega)}{\partial a}$$

на отрезках вида  $[a_0, a_1]$ . Оценки ищутся для функций  $|\delta(a, \tilde{\omega})|$ , где  $\tilde{\omega}$  – фиксированная частота, и  $|\delta(a, \omega)|$ , где  $\omega$  – переменная,  $\omega \in \Omega$ .

Выражение для частной производной (в формуле ниже частота  $\omega$  считается фиксированной) имеет вид

$$\delta(a, \omega) = \sum_{l=1}^{2^{L-1}} (-1)^{\sigma_l(L)+L} f_l(a) F_{L-1}(v_l(a)) + f(a) \Theta(a),$$

где

$$v_l(a) = \frac{\sum_{m=1}^L (-1)^{s_l(m)} a^{m-1}}{1 + \dots + a^{L-1}}, \\ f(a) = \frac{L(-1)^L}{2\pi(\omega_l - \omega_0)^L} \frac{(a^L - 1)^{L-1}}{a^{(L-1)L/2+1} (a-1)^{L+1}} \times \\ \times ((L-1)a^{L+1} - (L+1)a^L + (L+1)a - (L-1)), \\ f_l(a) = \frac{1}{2\pi(\omega_l - \omega_0)^{L-1}} \frac{(a^L - 1)^{L-2}}{a^{(L-1)L/2} (a-1)^L} \times \\ \times \sum_{m=1}^L ((m-L)a^{L+m-1} + (L-m+1)a^{L+m-2} - \\ - ma^{m-1} + (m-1)a^{m-2})(-1)^{s_l(m)}.$$

Оценку функции  $|\delta(a, \tilde{\omega})|$  для заданной частоты  $\tilde{\omega}$  можно найти, используя формулу

$$|\delta(a, \tilde{\omega})| \leq |\delta(a_0, \tilde{\omega})| + \sum_{l=1}^{2^{L-1}} (c_{l1} |F_{L-1}(v_l(a_0))| + \\ + c_{l0} \max_{x \in [a_0, a_1]} |F_{L-1}(v_l(x)) - F_{L-1}(v_l(a_0))|) + \\ + |\Theta(a_0)| \max_{x \in [a_0, a_1]} |f(x) - f(a_0)| + \\ + \max_{x \in [a_0, a_1]} |f(x)| \max_{x \in [a_0, a_1]} |\Theta(x) - \Theta(a_0)|. \quad (22)$$

Коэффициенты  $c_{l0}$  и  $c_{l1}$  в (22) равны

$$c_{l0} = \max_{x \in [a_0, a_1]} |f_l(x)|, \quad c_{l1} = \max_{x \in [a_0, a_1]} |f_l(x) - f_l(a_0)|.$$

Формула (22) применяется при небольших значениях параметра  $a$ . Ниже без доказательства приводится другое неравенство, используемое в предлагаемом алгоритме для оценки частной производной при  $a_0 > 2$ :

$$|\delta(a, \tilde{\omega})| \leq |\delta(a_0, \tilde{\omega})| + C_0 \max_{w \in [0, y(a_0)]} |F_0(1-2w)| + \\ + C_1 \max_{w \in [0, y(a_0)]} |F_1(1-2w)|. \quad (23)$$

В правой части (23)  $y(a) = (a^{L-1} - 1)/(a^L - 1)$ , а константы  $C_0$  и  $C_1$  равны соответственно

$$C_0 = \left( |g_1(a_0)| (\omega_l - \omega_0) + \frac{G(a_0)}{\pi} \right) (y(a_0) - y(a_1)), \\ C_1 = \frac{1}{\pi(\omega_l - \omega_0)} \sum_{k=1}^L \max_{x \in [a_0, a_1]} |c_k(x) - c_k(a_0)| + \\ + \max_{x \in [a_0, a_1]} |(g_1(x) - g_1(a_0))|,$$

где

$$c_k(a) = \frac{1}{(a-1)} \left( \frac{k}{a^L} + (L-k) \right), \quad k = 1, \dots, L-2, \\ c_{L-1}(a) = \frac{1}{(a-1)^2} \left( \frac{(L-1)}{a^{L-1}} + a \right), \quad c_L(a) = \frac{L}{(a-1)^2}, \\ g_1(a) = \frac{L}{2\pi(\omega_l - \omega_0)} \frac{1}{a^L (a-1)^2} \times \\ \times ((L-1)a^{L+1} - (L+1)a^L + (L+1)a - (L-1)),$$

$$G(a) = \sum_{k=1}^L |c_k(a)|.$$

Для оценки модуля производной  $|\delta(a, \omega)|$  на множестве  $[a_0, a_1] \times \Omega$  при  $a_0 \leq 2$  используется неравенство

$$|\delta(a, \omega)| \leq \max_{\omega \in \Omega} |\delta(a_0, \omega)| + \sum_{l=1}^{2^{L-1}} c_{l1} B_l + \\ + D \max_{x \in [a_0, a_1]} |f(x) - f(a_0)| + \\ + 2 \sum_{l=1}^{2^{L-1}} c_{l2} \left( \max_{x \in [a_0, a_1]} |f_l(x)| \max_x |\Phi_{L-2}(x)| + \right. \\ \left. + \max_{x \in [a_0, a_1]} |f(x)| \max_x |\Phi_{L-1}(x)| \right), \quad (24)$$

где

$$\begin{aligned} c_{l2} &= \frac{\omega_l - \omega_0}{2} \max_{x \in [a_0, a_l]} |\nu_l(x) - \nu_l(a_0)|, \\ B_l &= \max_{\omega \in \Omega} \left| \Phi_{L-1} \left( \omega + \frac{\omega_l - \omega_0}{2} \nu_l(a_0) \right) + \right. \\ &\quad \left. + (-1)^{L-1} \Phi_{L-1} \left( \omega + \frac{\omega_l - \omega_0}{2} \nu_l(a_0) \right) \right|, \\ D &= \max_{\omega \in \Omega} \left| \sum_{l=1}^{2^L} (-1)^{\sigma_l(L)} \Phi_L \left( \omega + \sum_{m=1}^L (-1)^{s_l(m)} \phi_m(a_0) \right) \right|. \end{aligned}$$

Оценка  $|\delta(a, \omega)|$  при  $a_0 > 2$  задается неравенством

$$\begin{aligned} |\delta(a, \omega)| &\leq \max_{\omega \in \Omega} |\delta(a_0, \omega)| + \\ &\quad + 2C_0 \max_x |\Phi_0(x)| + 2C_1 \max_x |\Phi_1(x)|. \end{aligned} \quad (25)$$

## 6. ОПИСАНИЕ АЛГОРИТМА ДИСКРЕТИЗАЦИИ

Предлагаемый метод дискретизации заключается в разбиении отрезка  $[1, A]$  на  $S$  подотрезков вида  $[a_s, a_{s+1}]$ , где  $a_{s+1} = a_s + \Delta a(s)$ ,  $0 \leq s \leq S - 1$ . На каждом  $[a_s, a_s + \Delta a(s)]$  ищется постоянная оценка снизу функции  $M(a)$

$$\mu_s \leq M(a), \quad a_s \leq a \leq a_s + \Delta a(s).$$

Приведем описание алгоритма. Начальное значение параметра  $a$  полагается равным  $a_0 = 1$ .

*Шаг 1.* На множестве  $\Omega$  задается некоторый набор частот  $\omega_1, \dots, \omega_Q$  и ищется частота  $\omega_{00}$  из этого набора, в которой функция  $|\varepsilon(a_s, \omega)|$  достигает максимального значения

$$|\varepsilon(a_s, \omega_{00})| = \max_q |\varepsilon(a_s, \omega_q)|.$$

*Шаг 2.* Если для найденного ранее значения  $m$  функции  $M(a)$  выполняется неравенство

$$\frac{\varepsilon_{00}}{2} < m,$$

то с помощью формулы

$$\Delta a(s) \leq \frac{\varepsilon_{00}}{2} \frac{1}{M_{00}},$$

где  $M_{00}$  – полученная с помощью соотношений (22) или (23) оценка сверху модуля производной

$$\left| \frac{d}{da} \varepsilon(a, \omega_{00}) \right| \leq M_{00}, \quad a \in [a_s, a_s + \Delta a(s)],$$

ищется шаг  $\Delta a(s)$ , обеспечивающий изменение функции  $\varepsilon(a, \omega_{00})$  не более чем на  $\varepsilon_{00}/2$ . Если же

$m \leq \varepsilon_{00}/2$ , то шаг  $\Delta a(s)$  определяется из неравенства

$$\Delta a(s) \leq \frac{\varepsilon_{00} - m}{M_{00}}.$$

Оценка снизу  $M(a)$  на  $[a_s, a_s + \Delta a(s)]$  есть

$$\mu_s = M_{00} \Delta a(s).$$

*Шаг 3.* Если имеет место неравенство  $m \leq \mu_s$ , то строится следующий подотрезок  $[a_{s+1}, a_{s+1} + \Delta a(s+1)]$  и ищется оценка  $\mu_{s+1}$  на нем.

При  $m > \mu_s$  выполняется дискретизация  $[a_s, a_{s+1}]$  с шагом  $\alpha$ , определяемым из неравенства

$$\alpha \leq \frac{\mu_s}{10} \frac{1}{M_{10}},$$

где  $M_{10}$  – такое число, что

$$M_{10} \geq \left| \frac{\partial \varepsilon(a, \omega)}{\partial a} \right|$$

для всех  $a \in [a_s, a_{s+1}]$  и  $\omega \in \Omega$ . Оценка  $M_{10}$  вычисляется с помощью неравенств (24), (25). Если минимальное из множества значений  $M(a_s + \alpha k)$  меньше найденного ранее числа  $m$ , то полагается

$$m = \min_k M(a_s + \alpha k).$$

## 7. ЧИСЛЕННЫЙ ЭКСПЕРИМЕНТ

С помощью описанного в разд. 6 алгоритма для заданных граничных частот  $\omega_0, \omega_l$  и различных чисел  $N, L$  были найдены фильтры с оптимальной относительно величины отклонения АЧХ (3). Из каждого набора найденных для  $L = 2, \dots, 10$  оптимальных фильтров с фиксированными  $\omega_0, \omega_l, N$  был выбран наилучший. Полученные погрешности  $\delta_0$  и оптимальные параметры  $a, L$  представлены в табл. 1. Для сравнения там же приведены значения отклонений оптимальных фильтров Чебышева [7], имеющих ту же длину и такие же граничные частоты.

Был проведен также эксперимент, заключавшийся в сравнении новых фильтров с оконными фильтрами на основе весовых функций [7, 8] Блэкмана

$$\begin{aligned} w_1(x) &= \\ &= \begin{cases} 0.42 + 0.5 \cos(\pi x) + 0.08 \cos(2\pi x), & |x| \leq 1, \\ 0, & |x| > 1 \end{cases} \end{aligned}$$

и Кайзера

$$w_2(x) = \begin{cases} I_0 \left( \pi \beta \sqrt{1 - x^2} \right) / I_0(\pi \beta), & |x| \leq 1, \\ 0, & |x| > 1, \end{cases}$$

**Таблица 1.** Параметры  $L, a$  оптимальных фильтров и отклонение  $\delta_0$  АЧХ (3) для этих параметров в полосах пропускания и подавления для различных частот  $\omega_0, \omega_l$  и чисел  $N$ . Отклонение  $\delta_1$  АЧХ оптимальных фильтров Чебышева длиной  $2N + 1$  для частот  $\omega_0, \omega_l$

$\omega_0 = \pi/3, \omega_l = \pi/2$				
$N$	$L$	$a$	$\delta_0$	$\delta_1$
10	2	6.465	$2.67 \times 10^{-2}$	$2 \times 10^{-2}$
20	2	1	$1.99 \times 10^{-3}$	$9.5 \times 10^{-4}$
30	3	1	$2.56 \times 10^{-4}$	$5.03 \times 10^{-5}$
40	4	1.114	$2.14 \times 10^{-5}$	$3.21 \times 10^{-6}$
50	5	1.114	$2.1 \times 10^{-6}$	$2.28 \times 10^{-7}$
$\omega_0 = \pi/4, \omega_l = 7\pi/12$				
10	2	1	$1.81 \times 10^{-3}$	$1.04 \times 10^{-3}$
20	4	1.116	$2.21 \times 10^{-5}$	$2.81 \times 10^{-6}$
30	6	1.099	$2.62 \times 10^{-7}$	$1.92 \times 10^{-8}$
40	8	1.076	$4.07 \times 10^{-9}$	$6.4 \times 10^{-11}$
50	10	1.044	$4.8 \times 10^{-11}$	$2.43 \times 10^{-13}$

где  $I_0(x)$  – модифицированная функция Бесселя первого рода нулевого порядка,  $\beta = 4.54$ . Эффективные носители  $[-S_{\phi}, S_{\phi}]$  преобразований Фурье  $W_1(\omega), W_2(\omega)$  окон  $w_1(x), w_2(x)$  были найдены с помощью формулы

$$\left( \int_{-S_{\phi}}^{S_{\phi}} W_k^2(\omega) d\omega \right) / \left( \int_{\mathbb{R}} W_k^2(\omega) d\omega \right) \times 100\% = 99.99\%, \\ k = 1, 2.$$

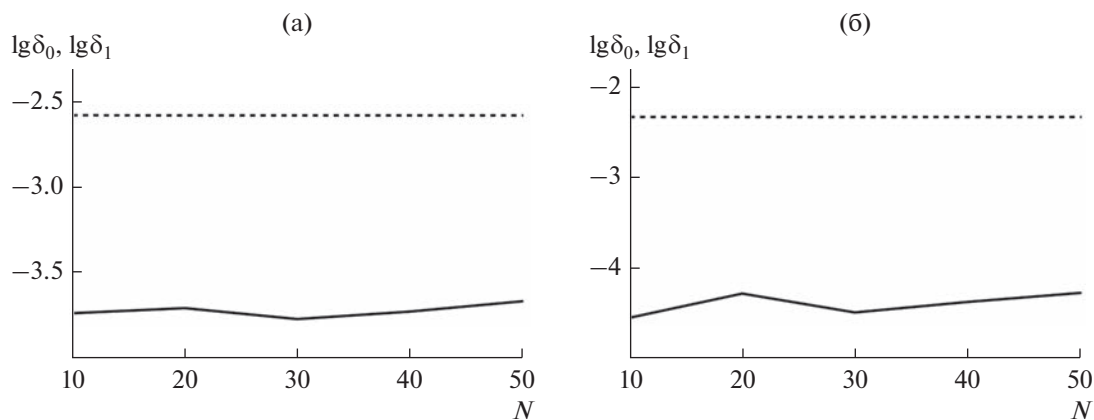
Для  $W_1(\omega)$  и  $W_2(\omega)$  получено соответственно  $S_{\phi} = 7.3$  и  $S_{\phi} = 9.3$ . Переходная полоса оконных фильтров длиной  $2N + 1$  на основе  $w_1(x)$  и  $w_2(x)$  занимает отрезок

$$[\omega_c - S_{\phi}/N, \omega_c + S_{\phi}/N], \quad (26)$$

где  $\omega_c$  – частота среза. Для набора чисел  $L = 2, \dots, 10$  с помощью предложенного в работе алгоритма были построены оптимальные по параметрам  $L$  и  $a$  фильтры длиной  $2N + 1$  при  $N = 10k, k = 1, \dots, 5$ , с переходной полосой вида (26) при  $S_{\phi} = 7.3$  и  $S_{\phi} = 9.3$ . Частота  $\omega_c$  принята равной  $5\pi/12$ . Сравнение отклонений АЧХ  $\delta_0$  полученных оптимальных фильтров с отклонениями  $\delta_1$  оконных фильтров приведено на рис. 2.

## ЗАКЛЮЧЕНИЕ

Предложено новое параметрическое семейство КИХ-фильтров с АЧХ, аппроксимирующей свертку прямоугольного импульса с финитным сплайном конечного порядка. Отклонения АЧХ



**Рис. 2.** Логарифмы  $\lg \delta_0, \lg \delta_1$  отклонений АЧХ оптимальных фильтров (сплошная линия) и оконных фильтров (пунктирная) длиной  $2N + 1$  на основе окон Блэкмана (а) и Кайзера (б) для различных чисел  $N$ .

рассмотренных фильтров меняются с изменением параметра  $a$ , в связи с чем возникает задача поиска оптимального фильтра в семействе. Разработан и теоретически обоснован алгоритм оптимизации, заключающийся в замене непрерывной задачи дискретной. Проведен численный эксперимент, где выполнено сравнение разработанных фильтров с часто используемыми оконными и оптимальными фильтрами. По величине неравномерности в полосах пропускания и подавления новые фильтры оказались лучше оконных. Отличие между отклонениями АЧХ новых фильтров и фильтров Чебышева составило один-два порядка.

### СПИСОК ЛИТЕРАТУРЫ

1. *Кравченко В.Ф., Кравченко О.В.* Конструктивные методы алгебры логики, атомарных функций, вейвлетов, фракталов в задачах физики и техники / Под ред. В.Ф. Кравченко. М.: Техносфера, 2018.
2. *Кравченко В.Ф., Чуриков Д.В.* Цифровая обработка сигналов атомарными функциями и вейвлетами. М.: Техносфера, 2019.
3. *Будунова К.А., Кравченко В.Ф., Пустовойт В.И.* // РЭ. 2019. Т. 64. № 10. С. 984.
4. *Budunova K.A., Kravchenko V.F.* // Proc. 2021 Photonics and Electromagnetics Research Symp. (PIERS). Hangzhou, 21–25 Nov. N.Y.: IEEE, 2021. P. 270.
5. *Будунова К.А., Кравченко В.Ф., Пустовойт В.И.* // РЭ. 2021. Т. 66. № 11. С. 1085.
6. *Демьянов В.Ф., Малоземов В.Н.* Введение в минимакс. М.: Наука, 1972.
7. *Айфичер Э.С., Джервис Б.У.* Цифровая обработка сигналов. М.: ИД “Вильямс”, 2008.
8. *Дворкович В.П., Дворкович А.В.* Оконные функции для гармонического анализа сигналов. М.: Техносфера, 2016.